# Обучение взаимосвязанных информативных представлений в задаче генерации образов

Охотников Никита Владимирович Научный руководитель: к.ф.-м.н. Исаченко Р.В.

Кафедра интеллектуальных систем ФПМИ МФТИ Специализация Интеллектуальный анализ данных Направление: 03.03.01 Прикладные математика и физика

2024

### Введение

Исследуется задача поиска наилучшего дополнения образа — множества взаимосвязанных элементов — элементами конечной коллекции.

### Проблемы

- ▶ Взаимосвязь элементов в образе имеет неизвестную структуру.
- ▶ Точное решение задачи дополнения требует полного перебора.

### Задача

Предложить эффективный приближенный алгоритм дополнения образа несколькими элементами.

### Предлагается

На основе известной функции оценки образа построить функцию для генерации зависимых скрытых представлений элементов, использующихся далее для выбора элементов дополнения

# Постановка задачи дополнения образа

- lacktriangle Основная единица данных *объект* или *элемент*, множество векторных представлений всех объектов  $\mathcal{X} \subset \mathbb{R}^d$ .
- ▶ Непустые подмножества множества элементов  $O = \{X_i\}_{i=1}^k \subset \mathcal{X}, O \neq \{\emptyset\}$  будем называть *образами*. Множество образов обозначим  $\mathcal{O}$ .
- Для образов введем функцию оценки или совместимости элементов:

$$\mathcal{S}: \ 2^{\mathcal{X}} \longrightarrow [0,1], \quad \forall O \in \mathcal{O}: \ \mathcal{S}(O) > 0.$$

#### Дано:

 $O_n \in \mathcal{O}, \ |\mathcal{O}| = n$  — исходный образ  $k \in \mathbb{N}, \ k$  — количество элементов дополнения

#### Требуется:

Найти наилучшее в смысле максимизации функции оценки  $\mathcal S$  дополнение образа  $O_n$  k элементами  $\{\hat X_i\}_{i=1}^k\subset \mathcal X$  т.е. решить следующую оптимизационную задачу

$$\{\hat{X}_i\}_{i=1}^k = \underset{\{X_i\}_{i=1}^k \subset \mathcal{X}}{\operatorname{argmax}} \, \mathcal{S}\left(O_n \cup \{X_i\}_{i=1}^k\right)$$

### Теоретическая часть

- ▶ Примем функцию оценки S известной. (В эксперименте будем рассматривать предобученную модель OutfitTransformer<sup>1</sup>).
- ▶ Для задачи дополнения

$$\{\hat{X}_i\}_{i=1}^k = \underset{\{X_i\}_{i=1}^k \subset \mathcal{X}}{\operatorname{argmax}} \, \mathcal{S}\left(O_n \cup \{X_i\}_{i=1}^k\right)$$

существует 2 глобальных подхода

- 1. Дискретный оптимизация полного перебора
- 2. Непрерывный решение некоторой связанной задачи в непрерывном множестве и выбор ближайших к решению элементов  ${\mathcal X}$

<sup>&</sup>lt;sup>1</sup>https://doi.org/10.48550/arXiv.2204.04812

## Дискретный подход

- Решение задачи приближенным перебором
- Бейзлайн: жадные алгоритмы

«1-step» 
$$X_1 = \operatorname*{argmax}_{X \in \mathcal{X}} \mathcal{S}(O_n \cup X), \ldots, X_k = \operatorname*{argmax}_{X \in \mathcal{X} \setminus \bigcup_{i=1}^{k-1} X_i} \mathcal{S}(O_n \cup X)$$

Асимптотика:  $|\mathcal{X}|$  вызовов функции  $\mathcal{S}$ 

«k-step» 
$$X_1 = \underset{X \in \mathcal{X}}{\operatorname{argmax}} \, \mathcal{S}(O_n \cup X), \; \dots, X_k = \underset{X \in \mathcal{X} \setminus \bigcup_{i=1}^{k-1} X_i}{\operatorname{argmax}} \, \, \mathcal{S}(O_n \cup X_1 \dots X_{k-1} \cup X)$$

Асимптотика:  $k \cdot |\mathcal{X}|$  вызовов функции  $\mathcal{S}$ 

- Альтернатива: алгоритм beam-search. В граничных случаях вырождается либо в полный перебор, либо в k-step алгоритм выше. Асимптотика:  $\geqslant k \cdot |\mathcal{X}|$  вызовов функции  $\mathcal{S}$
- Крайне неэффективно

# Непрерывный подход

Будем рассматривать 2 непрерывных алгоритма:

- 1. Релаксация и градиентный спуск
- 2. Генерация скрытых представлений

### Градиентный спуск

- lacktriangle Функция  ${\mathcal S}$  липшицева с некоторой константой M
- ightharpoonup Есть доступ не только к  $\mathcal{S}$ , но и к  $\nabla \mathcal{S}$
- ▶ Идея: перейдем к релаксированной задаче:

$$\{\tilde{X}_i\}_{i=1}^k = \underset{\{X_i\}_{i=1}^k \subset \mathbb{R}^d}{\operatorname{argmax}} \, \mathcal{S}\left(O_n \cup \{X_i\}_{i=1}^k\right)$$

▶ Далее выберем  $\{\hat{X}_i\}$   $\subset \mathcal{X}$  как ближайшие к решениям в смысле функции близости  $\rho$ :

$$\hat{X}_i = \operatorname*{argmin}_{X \in \mathcal{X}} 
ho(\tilde{X}_i, X)$$

- ▶ Полученная задача разрешима с помощью градиентного спуска.
- Асимптотика: n вызовов  $\mathcal S$  и  $\nabla \mathcal S$  , где n количество шагов градиентного спуска (не зависит от  $|\mathcal X|$ )

# Градиентный спуск, необходимое условие

- ▶ S М-липшицева
- ightharpoonup рассмотрим  $L_p$  метрику в качестве ho, тогда

$$\sum_{i=1}^{k} \rho(\hat{X}_{i}, \tilde{X}_{i}) < \varepsilon \longrightarrow \left| \mathcal{S}\left(O_{n} \cup \{\tilde{X}_{i}\}_{i=1}^{k}\right) - \mathcal{S}\left(O_{n} \cup \{\hat{X}_{i}\}_{i=1}^{k}\right) \right| < M \cdot \varepsilon$$

▶ Проблема подхода:  $\exists \{\hat{X}_i\} \subset \mathcal{X}: \sum\limits_{i=1}^k \rho(\hat{X}_i, \tilde{X}_i) < \varepsilon$  — очень сильное условие и требует по крайней мере

$$\exists \{\hat{X}_{i}\}_{i=1}^{k} \subset \mathcal{X} : \mathcal{S}\left(O_{n} \cup \{\hat{X}_{i}\}_{i=1}^{k}\right) \geqslant \max_{\{X_{i}\}_{i=1}^{k} \subset \mathbb{R}^{d}} \mathcal{S}\left(O_{n} \cup \{X_{i}\}_{i=1}^{k}\right) - M\varepsilon$$

$$\updownarrow$$

$$\max_{\{X_{i}\}_{i=1}^{k} \subset \mathcal{X}} \mathcal{S}\left(O_{n} \cup \{X_{i}\}_{i=1}^{k}\right) \geqslant \max_{\{X_{i}\}_{i=1}^{k} \subset \mathbb{R}^{d}} \mathcal{S}\left(O_{n} \cup \{X_{i}\}_{i=1}^{k}\right) - M\varepsilon$$

lacktriangle Назовем последнее «условием плотности» множества элементов  ${\mathcal X}$ 

## Генерация скрытых представлений

- ▶ Предлагается *полностью* отказаться от вызовов функции S.
- ▶ Переформулируем задачу как поиск аппроксимации функции

$$\mathcal{F}_k: \mathcal{O} \longrightarrow \mathcal{X}^k, \quad O_n \in \mathcal{O}, \ \mathcal{F}_k(O_n) = \underset{\{X_i\}_{i=1}^k \subset \mathcal{X}}{\operatorname{argmax}} \mathcal{S}\left(O_n \cup \{X_i\}_{i=1}^k\right)$$

Композицией функций

$$F_k^{ heta}: \mathcal{O} \longrightarrow \mathbb{R}^d, \; F_k^{ heta}(O_n) = \{ ilde{X}_i\}_{i=1}^k$$
 и  $ho_{\mathcal{X}}: \mathbb{R}^d \longrightarrow \mathcal{X}, \; 
ho_{\mathcal{X}}( ilde{X}_i) = rgmax 
ho( ilde{X}_i, ilde{X}_i)$ 

• Свели задачу к генерации представлений недостающих элементов  $\{\tilde{X}_i\} \subset \mathbb{R}^d$ , наиболее близких в смысле функции  $\rho$  к  $\{\hat{X}_i\}_{i=1}^k$ :

$$\{\hat{X}_i\}_{i=1}^k = \underset{\{X_i\}_{i=1}^k \subset \mathcal{X}}{\operatorname{argmax}} \mathcal{S}\left(O_n \cup \{X_i\}_{i=1}^k\right)$$

с помощью функции  $F_k^{\theta}$  с вектором параметров  $\theta$ .

- Рассмотрим образы  $\mathcal{O}_n = \{O^i\}_{i=1}^n \subset \mathcal{O}$  и множество известных точных решений  $\mathcal{X}_n = \{\{\hat{X}_i^i\}_{i=1}^k\}_{i=1}^n \subset \mathcal{X}^k$
- ightharpoonup Тогда на параметры heta получаем следующую задачу:

$$\theta = \underset{\hat{\theta}}{\mathsf{argmin}} \left( \frac{1}{n} \sum_{i=1}^{n} \sum_{j=1}^{k} \rho \left( X_{j}^{i}, [F_{k}^{\hat{\theta}}(O^{i})]_{j} \right) \right)$$

# Аппроксимация функции $F_{ heta}^k$

- ightharpoonup Задача симметрична к перестановке  $\Longrightarrow$  разумно рассматривать операции эквивариантные относительно группы перестановок.
- ightharpoonup Тогда представим функцию  $F_k^{ heta}$  с помощью графовой нейронной сети (GNN)
- Вершины графа представления элементов образа
- $\blacktriangleright$  Общий вид преобразования  $h_i^{(t)}$  скрытого состояния i-ой вершины на шаге t в message passing  $\mathsf{GNN}^2$ :

$$h_i^{(t)} = U^{(t)} \left( h_i^{(t-1)}, \bigoplus_{j \in \overline{1,n}} M^{(t)} \left( h_i^{(t-1)}, h_j^{(t-1)} \right) \right),$$

где  $U^{(t)}, M^{(t)}$  – дифференцируемые функции,  $\bigoplus$  — дифференцируемая аггрегирующая функция, инвариантная к перестановкам (в эксперименте будем использовать сумму)

<sup>&</sup>lt;sup>2</sup>https://arxiv.org/pdf/1704.01212

### Генерация скрытых представлений, итоги

- Аппроксимация напрямую решений дискретной, а не релаксированной задачи
- lacktriangle Асимптотика: один вызов функции, аппроксимирующей  $F_k^{ heta}$
- ▶ Произвольное количество элементов дополнения за одну итерацию
- Моделирование зависимостей между элементами дополнения с помощью GNN
- ightharpoonup В качестве  $\mathcal{X}_n$  можно рассмотреть набор решений задачи многошаговым жадным алгоритмом

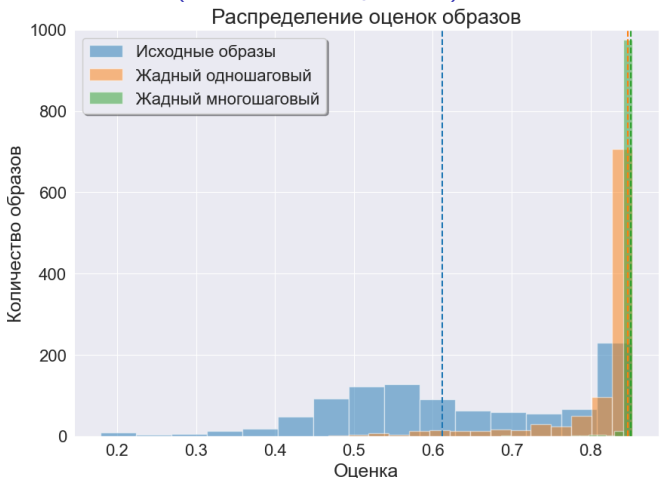
### Условия вычислительного эксперимента

- ▶ Данные: датасет  $Polyvore^3 17000$  образов из 65000 объектов
- ▶ Случайно выберем 1000 образов
- ightharpoonup Зафиксируем количество элементов дополнения k=2
- Оцениваем алгоритмы на основании распределения оценок дополненных образов
- Бейзлайн: рапределение оценок исходных образов
- ▶ В качестве  $\rho$  рассмотрим метрики  $L_1$ ,  $L_2$  и  $L_{10}$  и косинусное расстояние.

<sup>&</sup>lt;sup>3</sup>http://arxiv.org/abs/1707.05691

# Вычислительный эксперимент

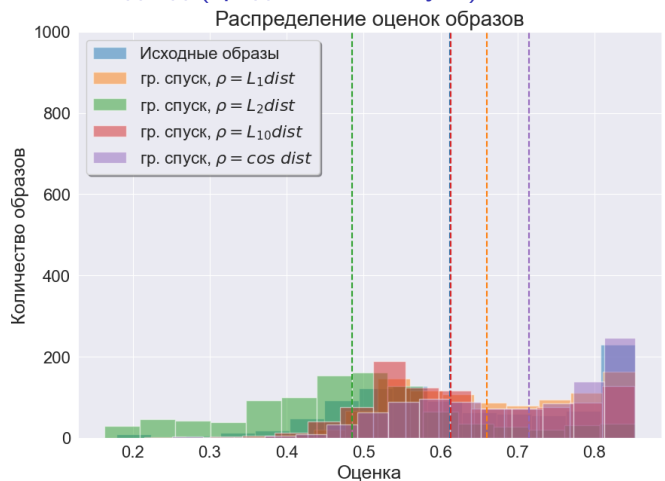
### Дискретный подход (жадные алгоритмы)



Показывают хороший результат, но требуют слишком много времени

# Вычислительный эксперимент

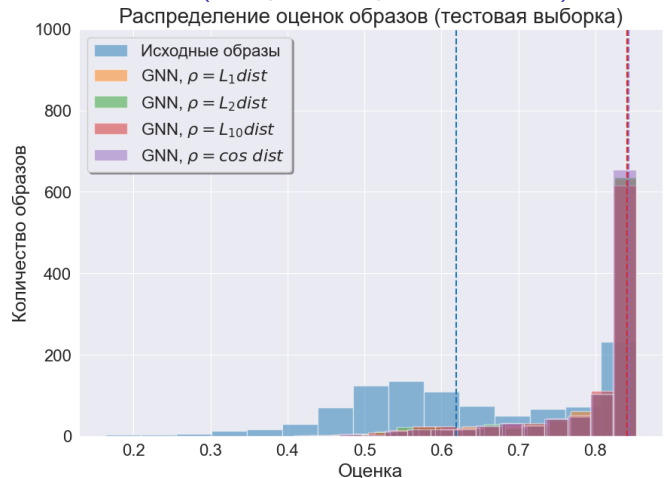
### Непрерывный подход (градиентный спуск)



Результат заметно хуже чем для жадных алгоритмов, а время вычислений еще медленнее, чем ожидалось

# Вычислительный эксперимент

### Непрерывный подход (генераций представлений)



Качество гораздо выше градиентного спуска, достижимое за десятки миллисекунд. Интересно, что разницы между различными  $\rho$  почти нет.

### Сравнение рассмотренных методов

ρ	Выборочная медиана оценок образов			
	ж. однош.	ж. многош.	гр. спуск	GNN
$L_1$	0.8511	0.8467	0.6602	0.8417
L <sub>2</sub>			0.4850	0.8417
L <sub>10</sub>			0.6132	0.8415
cos dist			0.7142	0.8428
Задержка, с	~4	~8	~5	~0.03

### Выводы

- 1. Жадные алгоритмы показывают хороший результат, но не применимы на практике.
- 2. Подход с решением релаксированной задачи себя не оправдал для данных не выполнено «условие плотности».
- 3. Генерация представлений существенно быстрее и почти не уступает в качестве.

# Выносится на защиту

- 1. Предложен и обоснован эффективный алгоритм дополнения образа произвольным числом взаимосвязанных элементов
- 2. Предложен способ пополнения обучающих данных для модели в условиях недостатка образов с высокой оценкой
- 3. Реализован программный код для вычислительного эксперимента и проведена оценка предложенных подходов